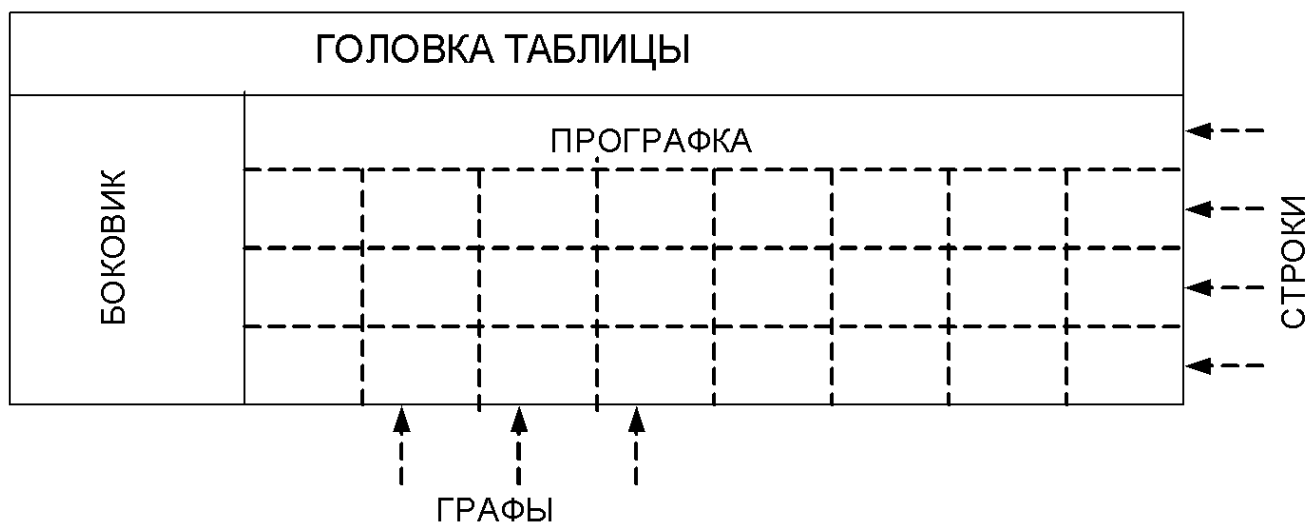
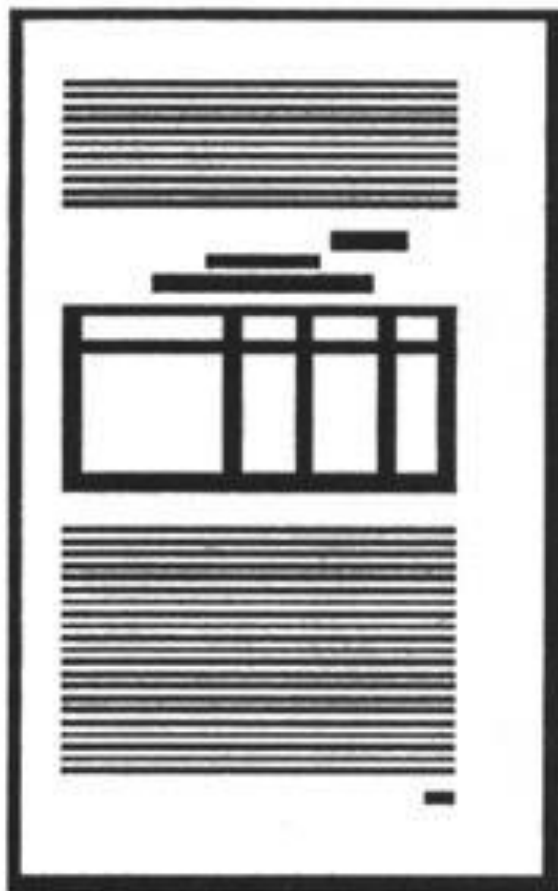
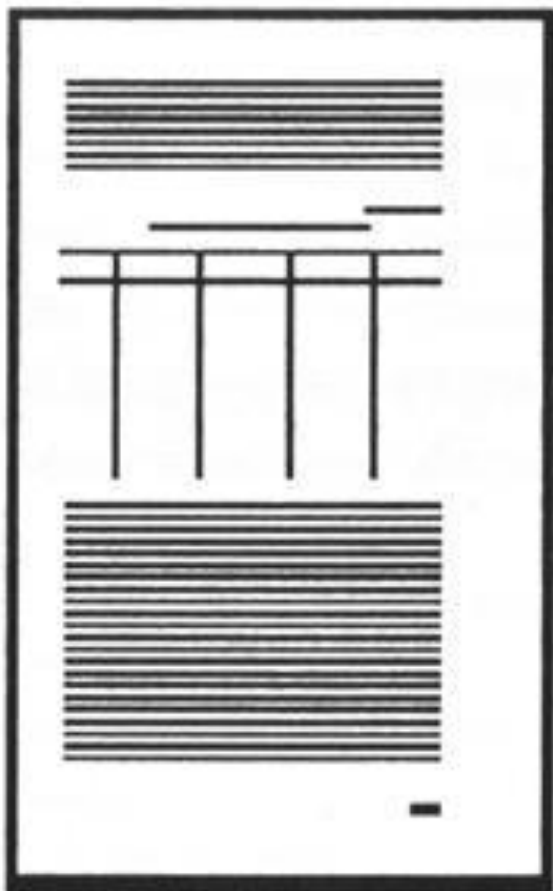


Структура таблицы

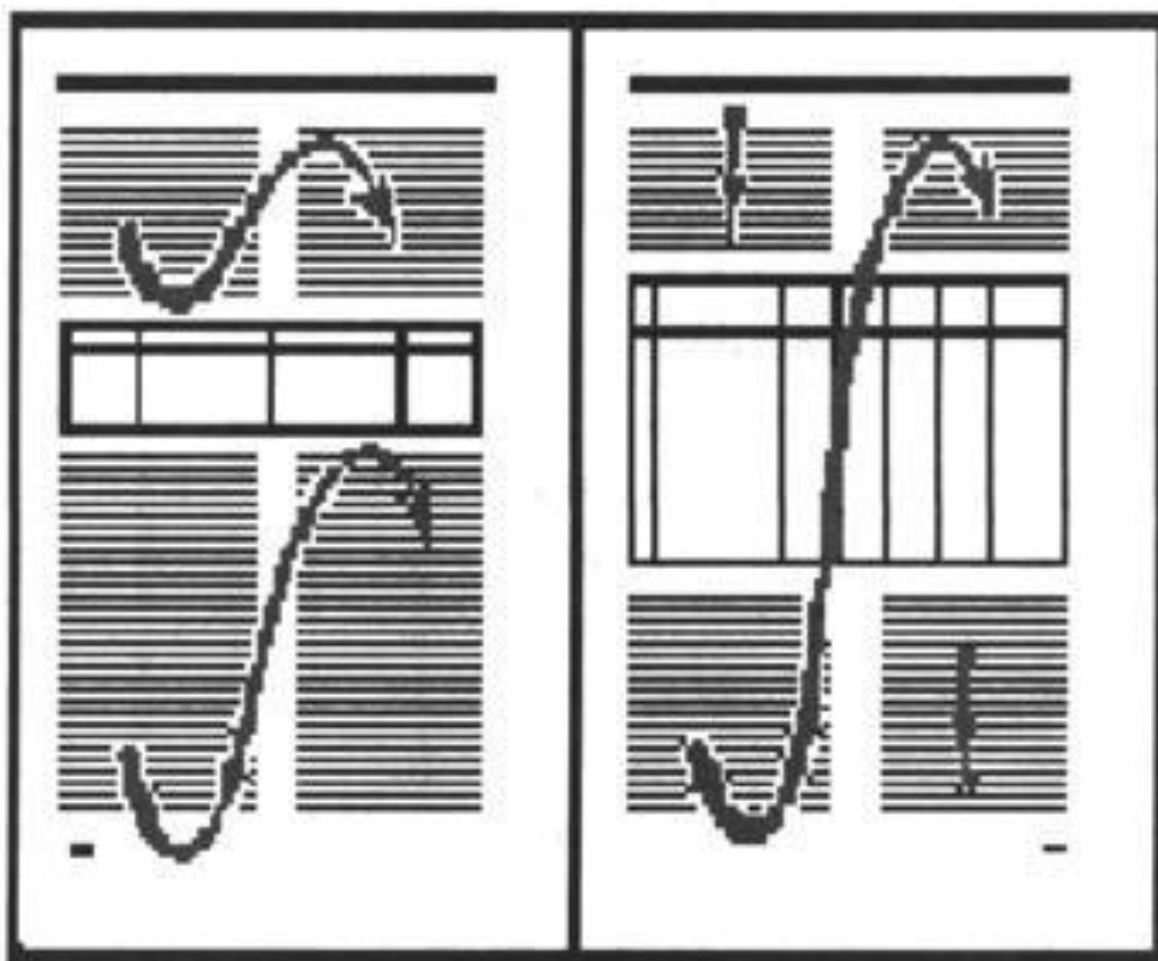
ЗАГОЛОВОК ТАБЛИЦЫ



Внешнее оформление таблиц



Схемы верстки таблиц при двухполосном наборе



Ключковые таблицы

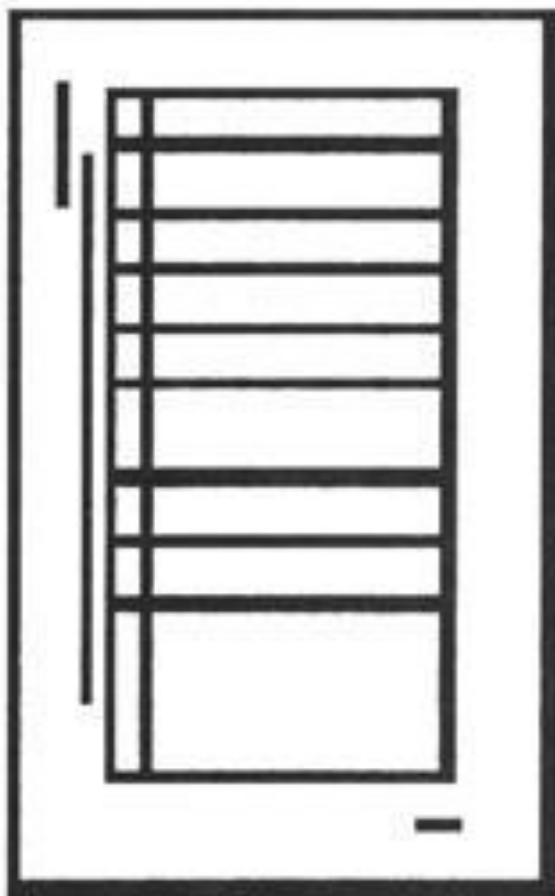


а

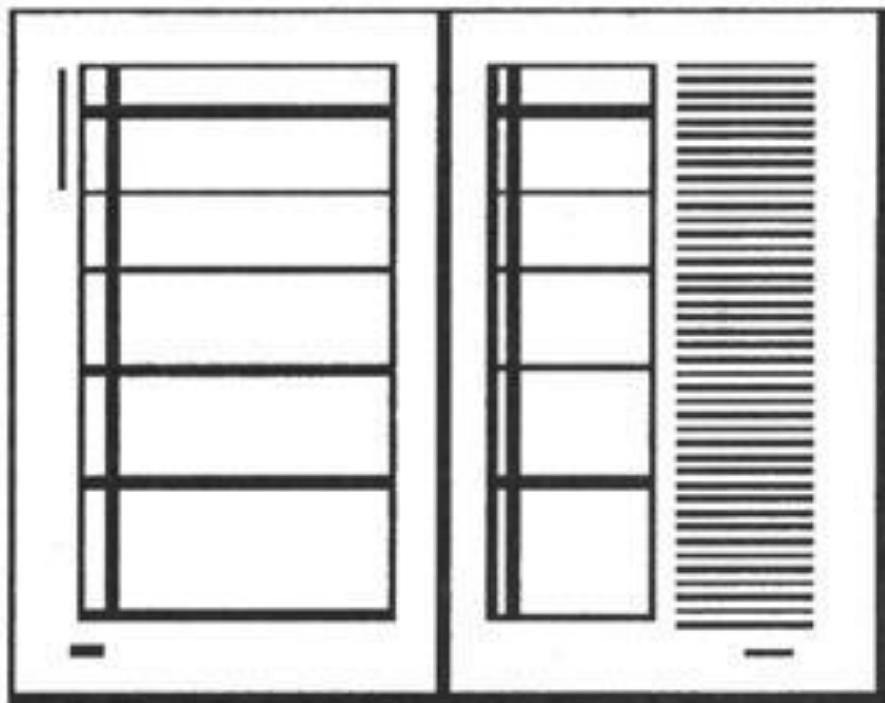
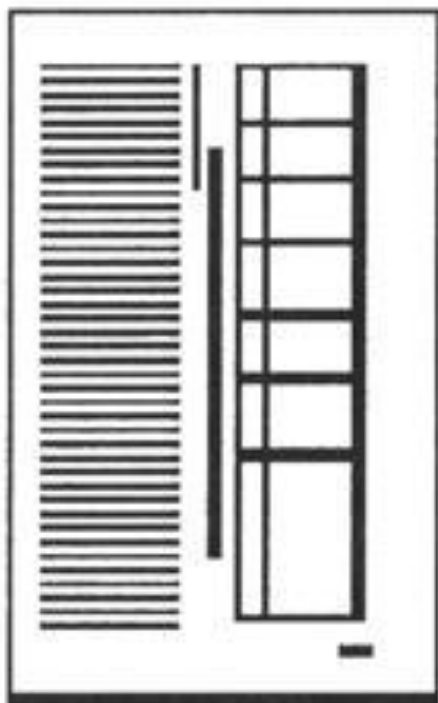


б

**Полосные таблицы:
продольная и поперечная**



Поперечные таблицы



Распашная поперечная таблица с оборкой на правой полосе

The diagram illustrates a split-width cross-table layout. It is divided into two main vertical sections by a central vertical line. The left section contains a table with 5 rows and 2 columns. The right section contains a table with 5 rows and 2 columns, where the rightmost column is filled with horizontal lines, representing a cover or a decorative element. Small horizontal bars are located at the bottom left and bottom right corners of the overall layout.

Поразрядный набор цифр таблицы

№	1	2	3	4	5
W_0	440	491	540	679,6	706
W_0X_0	10	9	7	9,4	9
B_0	1,05	1,16	1,07	1,22	1,1
V_m	22	27	39	36	39
J_m	85	96	126	198	140

№	1	2	3	4	5
W_0	440	491	540	679,6	706
W_0X_0	10	9	7	9,4	9
B_0	1,05	1,16	1,07	1,22	1,1
V_m	22	27	39	36	39
J_m	85	96	126	198	140

Вертикальные графы

Термодинамические функции инертных газов при $p^\circ = 760$ мм рт. ст.

Газ	T, К	U_0 , ккал/моль	S_0 , э.е.
He*	17	0,05	13,9
Ne	29	0,09	21,4
Ar	77,8	0,23	28,3
Kr	77,8	0,23	32,8

* В интервале температур 15—18 К

Термодинамические функции инертных газов при $p^\circ = 760$ мм рт. ст.

№ пп	Газ	T, К	U_0 , ккал/моль	S_0 , э.е.	Примечание
1	He	17	0,05	13,9	В интервале 15—18 К
2	Ne	29	0,09	21,4	
3	Ar	77,8	0,23	28,3	—
4	Kr	77,8	0,23	32,8	—

Сдваивание таблиц

Результаты термического анализа систем
 $Sr(NO_2)_2$ - $RbNO_2$; $Sr(NO_2)_2$ - $CsNO_2$

RbNO ₂ Экв. %	Температура, °C			CsNO ₂ Экв. %	Температура, °C		
	ликвидус	эвтектика	превращения в твердой фазе		ликвидус	эвтектика	превращения в твердой фазе
0	391	—	274	0	391	—	274
10	338	235	194,262	10	352	284	181,253
15	318	236	193,262	15	318	285	182,254
20	280	237	194,264	20	300	284	182,253

Результаты термического анализа систем
 $Sr(NO_2)_2$ - $RbNO_2$; $Sr(NO_2)_2$ - $CsNO_2$

Система Экв. %	Температура, ликвидуса, °C	Температура, эвтектики, °C	Температура превращения в твердой фазе, °C
RbNO ₂			
0	391	—	274
10	338	235	194,262
15	318	236	193,262
20	280	237	194,264
CsNO ₂			
0	391	—	274
10	352	284	181,253
15	318	285	182,254
20	300	284	182,253

Слова в головке и боковиках таблицы следует писать полностью, без сокращений

Содержание стального литья

Виды стали	Компоненты, %				
	C	Mn	Si	S	P
Кислая сталь	} 0,17—0,27	1,0	0,25—0,35	0,55	0,055
Основная сталь					0,50

Содержание стального литья

Виды стали	Компоненты в %				
	Углерод	Марганец	Кремний	Сера	Фосфор
Кислая сталь	0,17—0,27	1,0	0,25—0,35	0,55	0,055
Основная сталь	0,17—0,27	1,0	0,25—0,35	0,55	0,50

Оформление заголовков

Плотность раствора

Источник	Молей соли на 1000 г воды		
	0,0090	0,0201	0,0863
	Температура, °С		
	30	40	30
Наши данные	1,45	1,34	1,29
Данные [13]	1,42	1,90	1,33
Данные [14]	1,52	1,51	1,46

Плотность раствора

Молей соли на 1000 г воды	0,0090	0,0201	0,0863
	Температура, °С		
Источник	30	40	30
Наши данные	1,45	1,34	1,29
Данные [13]	1,42	1,90	1,33
Данные [14]	1,52	1,51	1,46

Единицы измерения

6 час	10 мин	6 сек	5°	10'	12"
3 »	5 »	4 »	2	4	7
2 »	3 »	3 »	8	11	12

Замена цифр в таблице

Род грунта	Рылый	Мягкий
Глубина забоя № 1	<34	22—28
Глубина забоя № 2	<30	22—28

Род грунта	Рылый	Мягкий
Глубина забоя № 1	<34	22—28
» » № 2	»30	»